

DETECTORES

Características Gerais

O princípio básico dos detectores é a transferência de parte ou de toda a energia da radiação incidente para o material do detector, onde é convertida noutra forma, mais acessível à percepção humana.

A transferência da energia incidente faz-se por excitação e ionização dos átomos e/ou moléculas do material do detector.

A sua conversão depende de cada tipo de detector.

- Nos detectores gasosos (Ex.: Geiger-Müller)
 - o electrões de ionização formam directamente o impulso eléctrico que será tratado pela electrónica associada.
- Nos detectores de cintilação (Ex.: plásticos) tanto a excitação como a ionização contribuem para induzir transições moleculares de que resulta emissão de luz.
- Em emulsões fotográficas a ionização induz reacções químicas que permitem visualizar a trajectória da partícula.

Sensibilidade

É a capacidade de os detectores gerarem um sinal utilizável para um dado tipo de radiação

e uma dada energia. Nenhum detector é sensível a todos os tipos de radiação e a todas as energias incidentes.

A sensibilidade dum detector depende de:

- secção eficaz para produção de ionização.
- massa
- ruído electrónico
- material de protecção do seu volume activo.

► As partículas carregadas sendo altamente ionizantes, baixa densidade e pequeno volume podem bastar para um detector (Ex.: detectores de α e β — 1 cm^2 de área transversa e profundidade entre μm e mm)

As partículas neutras devem primeiro interagir no material para produzir partículas carregadas capazes de ionizar o meio. Como essas secções eficazes são mais baixas, os detectores devem ter maiores volumes (Ex.: detectores de γ — diâmetro e profundidade de alguns cm).

► A ionização produzida deve induzir um sinal maior que o do ruído electrónico do detector e cadeia de amplificação.

► A janela de entrada do detector causa absorção da radiação \Rightarrow só energias suficientes podem penetrar e ser detectadas.

• Resposta

Se o detector for suficientemente grande a radiação incidente é completamente absorvida. A ionização produzida, convertida em impulso eléctrico, é integrada no tempo. Esta carga eléctrica é proporcional à energia incidente.

Se a forma dos sinais não variar de evento para evento, a carga colectada é também proporcional à amplitude de cada impulso.

Esta relação amplitude <> energia é a resposta do detector.

Em muitos casos a resposta do detector é linear, ou seja, a relação entre a quantidade medida \bar{Z} e a quantidade inicial Z é de tipo $\bar{Z} = KZ$, em que K é uma constante de calibração. Se K varia com Z , chama-se não-linearidade à sua variação relativa: $\frac{dK}{dZ} / \frac{K}{Z}$.

• Resolução em energia

É uma medida da capacidade do detector em distinguir dois valores de energia próximos.

Como as excitações e ionizações produzidas são fenómenos estatísticos, fluctuam

em torno de valores médios, geralmente de forma gaussiana.

Assim, define-se resolução em energia R (de forma relativa) em termos da largura a meia altura (FWHM) do pico de energia E

$$R \equiv \frac{\Delta E}{E} = \frac{\text{FWHM}}{E}$$

Ex.: Detector de NaI, para raios X de $\sim 1 \text{ MeV}$

$$R = 8 - 9\%$$

→ ver fig.

• Variação da resolução com a energia:

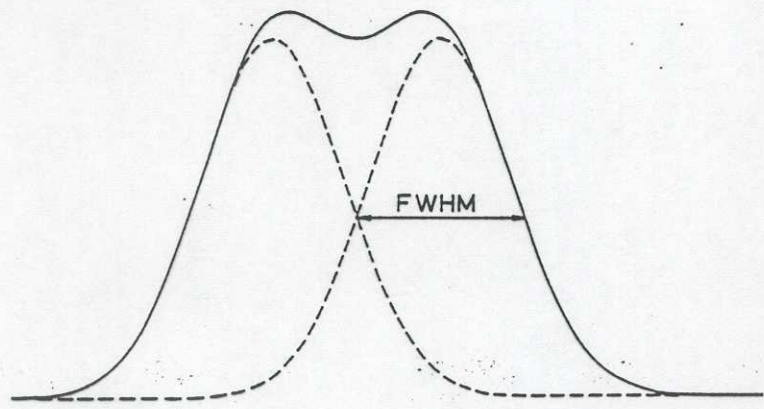
Como o processo de ionização segue a estatística de Poisson, existe uma energia média w para que seja produzida. Então, uma radiação de energia E produz, em média, $J = E/w$ ionizações. Quando E aumenta, o nº médio de ionizações também aumenta \Rightarrow flutuações relativas diminuem:

► No caso mais simples, em que E não é totalmente absorvida, a estatística é verdadeiramente de Poisson (eventos independentes, não há relação de restrição) e tem-se:

$$\sigma^2 = J \Rightarrow R \equiv \frac{\Delta E}{E} = \frac{\Delta J}{J} = \frac{2.35 \sigma}{J} = \frac{2.35}{\sqrt{J}} = 2.35 \sqrt{\frac{w}{E}}$$

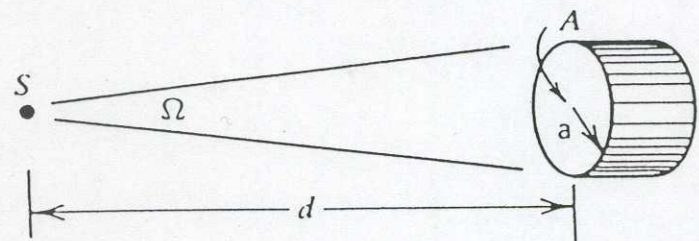
$\Rightarrow R$ varia com $1/\sqrt{E}$

Resolução de 2 picos em energia:



FWHM dos 2 picos "tocam-se".

Eficiência geométrica ou aceitância de um detector:



- Outros factores contribuem para a resolução global do detector: as fluctuações na deriva dos electrões/iões para os electrodos, o ruído electrónico, etc.. São geralmente independentes e de distrib. gaussiana, donde:

$$(\Delta E)^2 = (\Delta E)_{\text{detector}}^2 + (\Delta E)_{\text{electr.}}^2 + \dots$$

• Eficiência

A eficiência total é dada por:

$$\epsilon_{\text{tot}} = \frac{\text{eventos detectados}}{\text{eventos emitidos p/ fonte}}.$$

Pode ser factorizada em 2 componentes

$$\epsilon_{\text{tot}} = \epsilon_{\text{int}} \cdot \epsilon_{\text{geom}}, \text{ tal que:}$$

- Eficiência intrínseca:

$$\epsilon_{\text{int}} = \frac{\text{eventos detectados}}{\text{eventos incidindo no detector}}$$

- Eficiência geométrica ou aceitância:

$$\epsilon_{\text{geom}} = \frac{\text{eventos incidindo no detector}}{\text{eventos emitidos p/ fonte}} \rightarrow \text{ver fig.}$$

A eficiência intrínseca depende das secções eficazes de interacção. Logo, depende do tipo de radiação incidente e da sua energia, bem como do material do detector e seu volume (especialmente para incidentes neutros).

A aceitância depende da configuração geométrica do detector (fracção do ângulo sólido total que o detector define, visto da fonte), bem como da distribuição angular da radiação emitida. Em casos complexos, técnicas de simulação Monte-Carlo são usadas.

- Tempo morto

É o tempo necessário ao detector (e electrónica associada) para processar um evento. O detector pode, ou não, manter-se activo durante o período τ :

- Se se mantém activo, um 2º evento que apareça em τ virá "empilhar-se" com o 1º, distorcendo a forma do sinal e levando à perda de informação relativa aos dois.
- Se o detector se bloqueia, quer quer outros eventos que surjam na janela τ perdem-se.
- Determinemos, neste 2º caso, mais simples e usual, a verdadeira taxa de contagem m , quando o detector regista K contagens num tempo T , i.e., quando a taxa medida é K/T .

Cada contagem gera um tempo morto \bar{z} .
Logo, as K contagens geram um tempo morto total $K\bar{z}$ no intervalo T . Portanto, em T perdem-se $m(K\bar{z})$ contagens.

O número de contagens em T é então na realidade:

$$m T = K + m K \bar{z}$$

ou:

$$m = \frac{K}{T - K \bar{z}} = \frac{K/T}{1 - K/T \cdot \bar{z}} .$$

Se não houver tempo morto:

$$\bar{z} = 0 \Rightarrow m = K/T .$$

Tipos de detectores

• Detectores de ionização

Devido à grande mobilidade de electrões e iões, os gases são o meio mais simples para a recolha da ionização proveniente da radiação incidente.

Os diferentes detectores de ionização, câmara de ionização, contador proporcional, contador Geiger-Müller, são basicamente um só dispositivo que pode trabalhar em diversos regimes de tensão aplicada aos seus terminais, explorando diferentes fenômenos.

Esse dispositivo consiste num cilindro de paredes condutoras (cátodo), cheio de um gás nobre (Ex.: argon), tendo ao longo do eixo um fio condutor (ânodo) de tensão $+V_0$ em relação às paredes, que estão ao potencial nulo.

O campo eléctrico é radial: → ver fig.

$$E = \frac{1}{r} \frac{V_0}{\ln r_{\text{ext}}/r_{\text{int}}}$$

Quando uma radiação atravessa o cilindro, um certo número de pares electrão-ião (em média $1/30 \text{ eV}$) proporcional à energia depositada é criado. Devido ao campo eléctrico, os iões

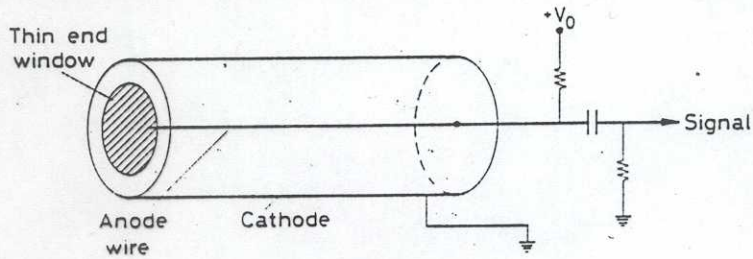
são acelerados para o cátodo e os electrões para o ânodo, onde se convertem num impulso de corrente que, por integração, dá a carga recolhida. Esta depende, pois, de V_0 : → ver fig.

► **Região I:** Se $V_0 \sim 0$, os pares e-ião recombina-se devido à sua própria atração eléctrica \Rightarrow não há carga recolhida.

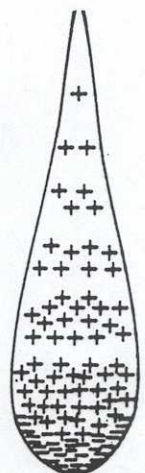
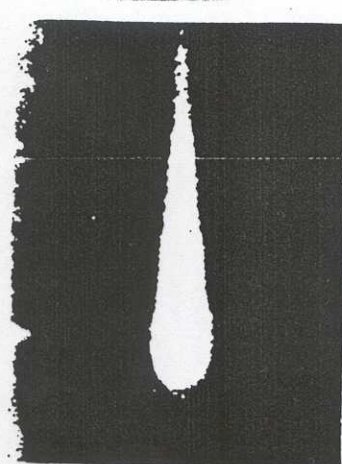
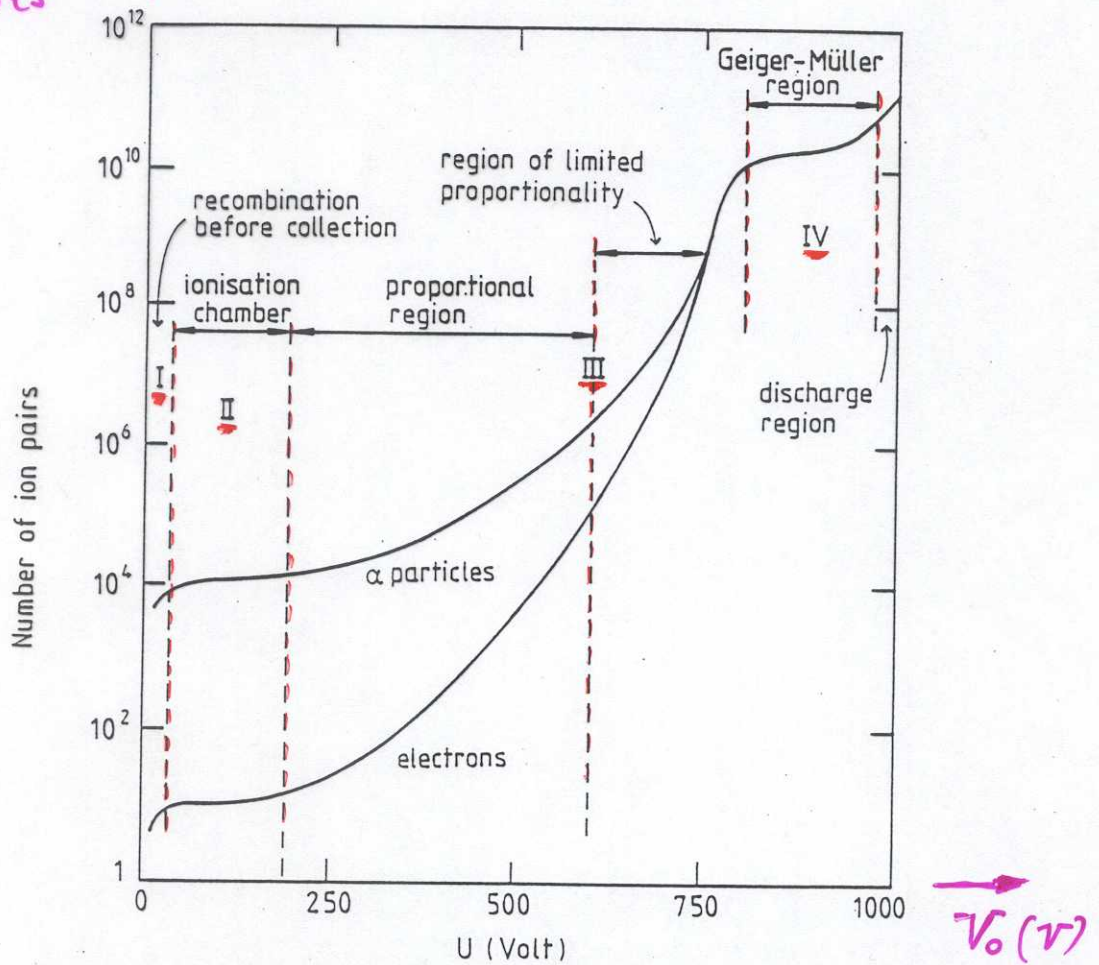
► **Região II:** À medida que V_0 aumenta, cada vez mais pares são recolhidos antes que se possam recombinar. A partir de certo valor, todos os pares formados são recolhidos e um novo aumento de V_0 não produz efeito: estamos no 1º patamar — região de trabalho da câmara de ionização.

► **Região III:** Continuando a aumentar V_0 , o campo eléctrico torna-se suficientemente forte para acelerar os electrões libertados a energias capazes de produzir ionizações secundárias. Os electrões libertados nestas poderão produzir novas ionizações \Rightarrow dá-se a ionização em avalanche.

O campo eléctrico só é muito forte junto ao ânodo, pelo que a avalanche se produz aí, sob a forma de uma gota de cargas positivas e negativas migrando a velocidades diferentes ($v_e \sim 10^3 v_{ion}$) e em sentidos opostos. → ver fig.



pares de iões ↑



O sinal de corrente produzido é proporcional à ionização primária, com uma amplificação da ordem de 10^4 - 10^6 — é a região de trabalho do contador proporcional.

Na parte final de III a proporcionalidade começa a perder-se devido ao aumento excessivo de carga espacial, o que distorce o campo eléctrico em redor do ânodo: é a sub-região de proporcionalidade limitada.

► Região IV: Tornando a subir V_0 ocorre uma descarga no gás: em vez de uma só avalanche localizada dão-se muitas avalanches ao longo do fio, devido a fotões de desexcitação moleculares que vão iniciar o processo de ionização com multiplicação noutro local. O sinal em corrente **satura**, sendo apenas controlado pela capacidade **C** do contador ($Q = CV_0$) — é a região de disruptão ou de Geiger-Müller.

► Região V: não se trata de uma região de trabalho dado haver disruptão contínua com ou sem radiação incidente.

Detectores de cintilação

Certos materiais, quando bombardeados com partículas carregadas ou radiações, emitem pequenos flashes de luz, isto é, cintilam.

Acoplados a um dispositivo de amplificação (como o fotomultiplicador - PM) as cintilações são convertidas em impulsos eléctricos que são tratados pela cadeia electrónica associada.

As suas mais importantes características gerais são:

- sensibilidade: acima de um limiar em energia, muitos cintiladores exibem uma resposta quase linear à energia incidente
⇒ bons como espectrómetros de energia.
- Resposta em tempo: são rápidos, pois têm tempos de resposta e de recuperação muito pequenos (comparados com outros tipos de detectores)
⇒ bons para altas taxas de contagem, mantendo um tempo morto reduzido.
⇒ bons para definição em tempo dos eventos.

Os materiais cintiladores são luminescentes, isto é, quando sujeitos à luz, calor, radiação, etc, absorvem a energia e reemitem-na sob a forma de luz visível.

- Se a reemissão ocorre imediatamente ($\sim 10\text{ ns}$), tempo típico das transições atómicas, dá-se a **fluorescência**
- Se a reemissão for atrasada (alguns μs a horas) por criação de estados excitados metastáveis, dá-se a **fotofluorescência**.

Em muitos cintiladores há 2 componentes de reemissão, a **rápida** e a **lenta**, sendo a 1^ª geralmente dominante.

Nem todos os materiais cintiladores servem para detectores. Os requisitos são:

- grande eficiência na conversão da energia em radiação fluorescente.
- transparência à radiação fluorescente para boa transmissão da luz ao photocátodo do PM.
- emissão numa **região espectral** adequada à do material do photocátodo do PM.
- uma componente rápida de reemissão de **pequena constante de decaimento**.

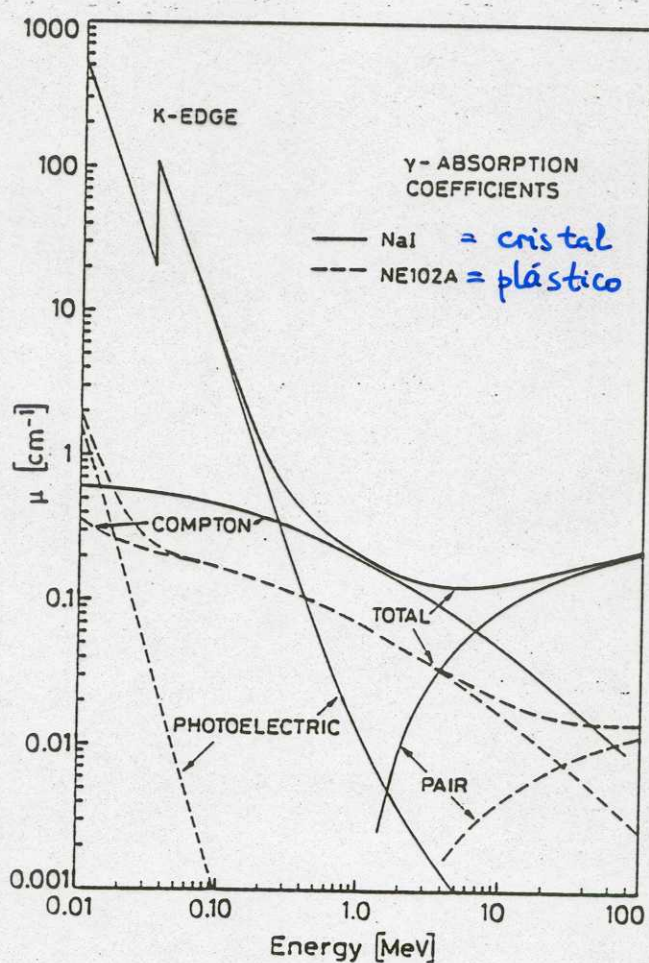
Os tipos de cintiladores usados são: cristais e líquidos orgânicos, plásticos, cristais inorgânicos, gases e vidros.

A título de exemplo, tabelam-se as diferenças entre plásticos e cristais inorgânicos.

→ ver figs.

Deteção de γ :

Comparação dos coeficientes de absorção linear entre um plástico (NE102A) e um cristal inorgânico (NaI)



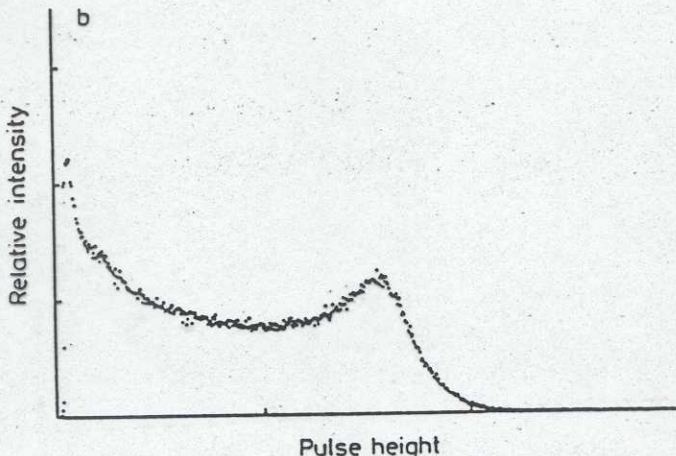
Comportamento típico das seções eficazes:

$$\sigma_{\text{fotoelétrico}} \propto Z^5$$

$$\sigma_{\text{Compton}} \propto Z$$

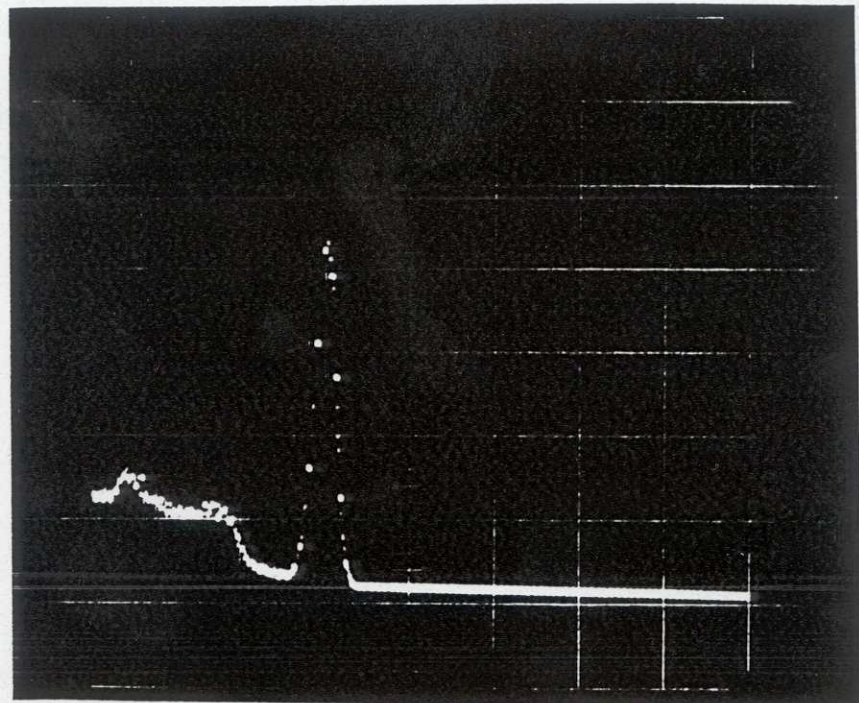
$$\sigma_{\text{prod. pares}} \propto Z^2$$

Detecção de γ :



Plásticos:

Baixo $Z \Rightarrow$ Má eficiência de recolha do sinal
Pouca cintilação \Rightarrow Má resolução dos picos e distribuições



Cristais:

Alto $Z \Rightarrow$ Boa eficiência na recolha da energia do γ
Muita cintilação \Rightarrow Boa resolução

plásticos cristais inorgânicos

Consequências

Z	baixo	alto	plásticos bons para e- cristais bons para γ
índice refracção	~ 1.58	~ 1.78	boas transparências
luz refletida	1	1 - 10	cristais: boa resolução em energia $NaI(Tl) = 2.3$
compr. rápida (const. decaim.)	2-4 ms	60-1000 ms	$NaI(Tl) = 230 \text{ ns}$
compr. onda (máxima emissão)	370-430 nm	300-450 nm	$NaI(Tl) = 413 \text{ nm}$
material higroscópico	não	sim (em geral)	$NaI(Tl)$ sim BGO não

• Cristais inorgânicos :

Os cintiladores inorgânicos são frequentemente cristais dopados com uma pequena quantidade de impurezas activadoras. O mais usado é o $NaI(Tl)$.

Enquanto a cintilação dos materiais orgânicos é de origem molecular, nos cintiladores inorgânicos é devida à estrutura de bandas

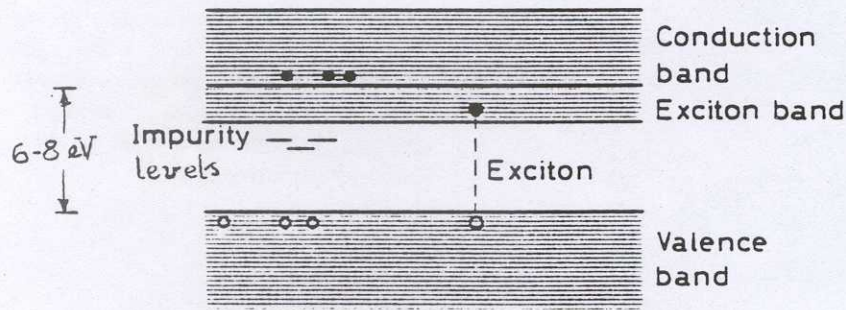


Fig. 7.7. Electronic band structure of inorganic crystals. Besides the formation of free electrons and holes, loosely coupled electron-hole pairs known as excitons are formed. Excitons can migrate through the crystal and be captured by impurity centers

electrónicas dos cristais.

Dois processos podem ocorrer quando um cristal é bombardeado por radiação:

→ ver fig.

- Ou ioniza o cristal removendo um electrão da banda de valência para a de condução, criando um electrão livre e um buraco livre.
- Ou cria um par electrão - buraco ligado (excitação) que pode mover-se livremente no cristal, mas como um todo.

Estes pares, ao encontrarem um átomo da substância activadora, excitam-no. É da sua desexcitação que resulta a emissão de luz na banda necessária à excitação do photocátodo dos PMs.

Fotomultiplicador (PM)

→ ver fig.

É um tubo de vidro, sob vácuo, constituído por um photocátodo que recebe os impulsos luminosos do cintilador e liberta electrões por efeito fotoeléctrico, e por um sistema de multiplicação formado por um conjunto de electrodos (10 a 14), os díodos, que termina num ânodo, onde se recolhe o sinal.

- O photocátodo é uma liga semicondutora formada por um ou mais metais alcalinos

(Na, K, Cs) e materiais do grupo V (geralmente Sb).

A propriedade básica dum photocátodo é a sua eficiência quântica: número de elétrões libertados por fóton incidente. Os photocátodos bialcalinos atingem máximos de $\eta = 27\%$ para comprimentos de onda $\lambda = 380 \text{ nm}$. → ver fig.

► Diferentes configurações geométricas podem ser usadas para colectar, focar e acelerar os elétrões para o 1º díodo.

Os díodos são electrodos feitos de metal revestido por um material com alto coeficiente de emissão electrónica secundária (Exos: Ag-Mg, Cu-Be, Sb-Cs). Um elétrão de 100 - 200 eV arranca 3 a 5 elétrões secundários. Com 14 díodos e diferenças de potencial entre andares de 100 - 150 V, obtém-se um ganho de 10^8 . → ver fig.

► O ruído dum PM tem 2 componentes:

- Corrente negra, presente mesmo quando o PM não é iluminado, devida essencialmente à emissão termiônica do cátodo e díodos

$$I = A T^2 \exp(-e\phi/kT)$$

- ruído estatístico, devido às flutuações em torno do valor médio da emissão fotoeléctrica do cátodo e das emissões secundárias de cada díodo.

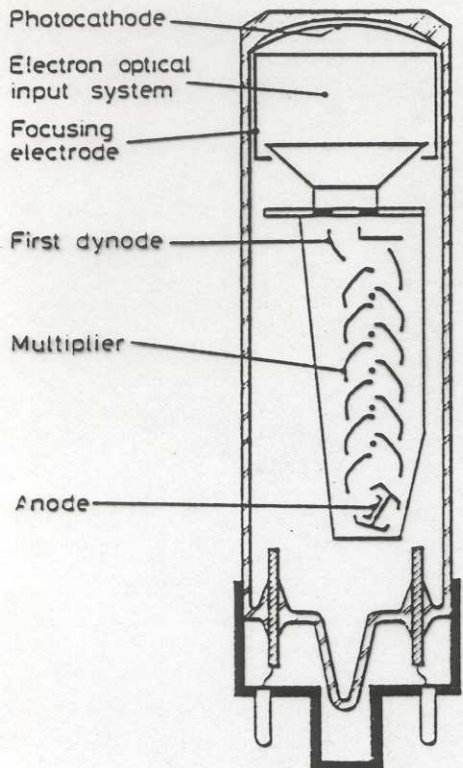


Fig. 8.1. Schematic diagram of a photomultiplier tube (from Schonkeren [9.1])

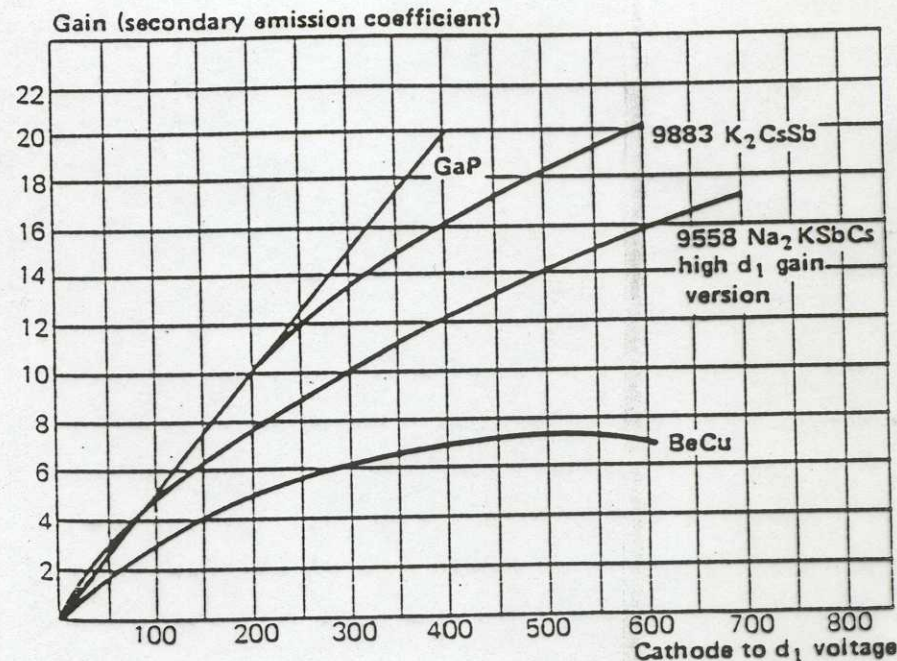


Fig. 8.9. Secondary emission factor for several dynode materials (from EMI Catalog [8.2])

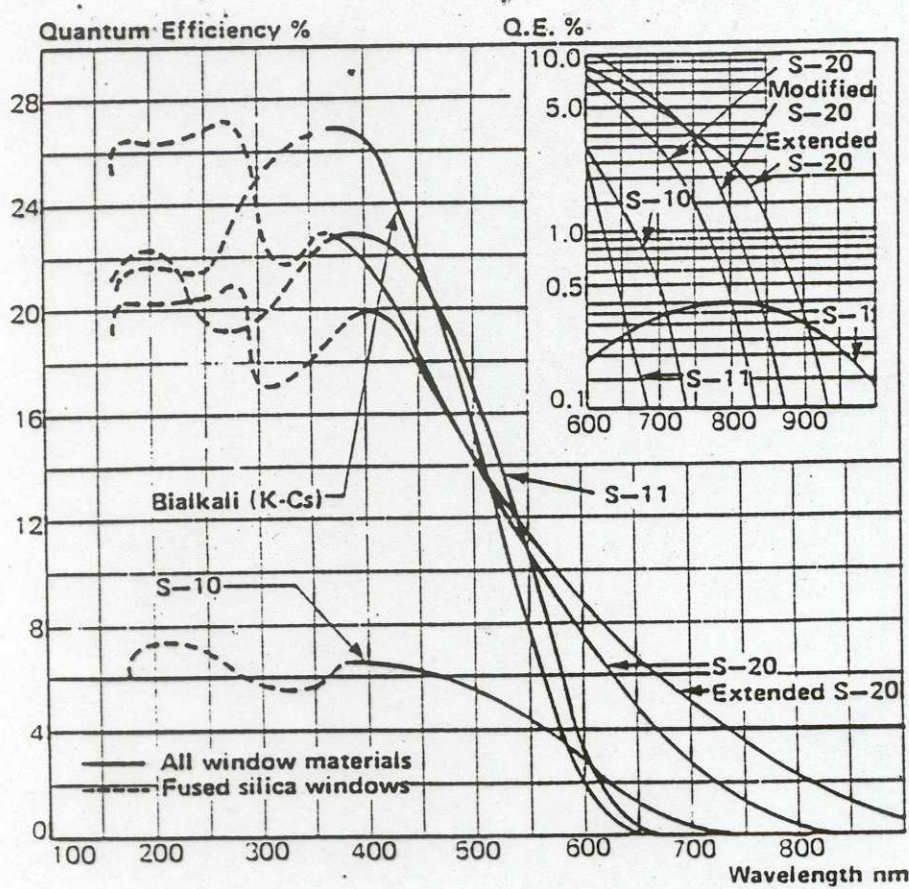


Fig. 8.2. Quantum efficiency of various photocathode materials (from EMI Catalog [8.2])

• Detectores semicondutores

• Semicondutores de tipo p e n:

Se se substitui um átomo da rede cristalina de um semicondutor por uma impureza com 5 electrões de valéncia (+1 que o semicondutor) cria-se um semicondutor extrínseco ou dopado de tipo n, ou dador de electrões, com um nível de energia da impureza muito perto da banda de condução — 0,05 eV para o silício (Ex.: arsénio). → ver fig.

Se se injectam impurezas com 3 electrões de valéncia cria-se um semicondutor de tipo p, ou aceitador de electrões, com o nível adicional de energia muito perto da banda de valéncia (Ex.: gálio).

• Junção p-n:

Quando se juntam dois semicondutores extrínsecos de tipos diferentes, p e n, na zona de contacto há difusão de electrões para o lado p e difusão de buracos para o lado n. Estas difusões são impôr recombinações electrão-buraco nas duas regiões. Mas como os materiais eram inicialmente neutros, criam-se cargas eléctricas dum lado e do outro da

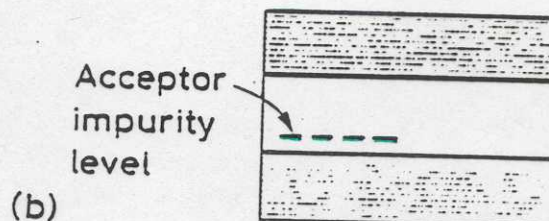
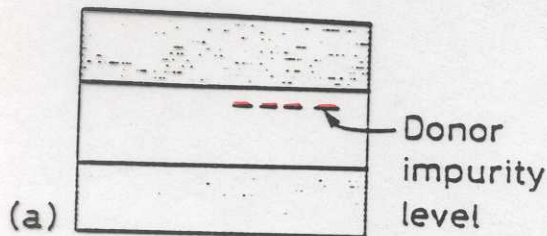
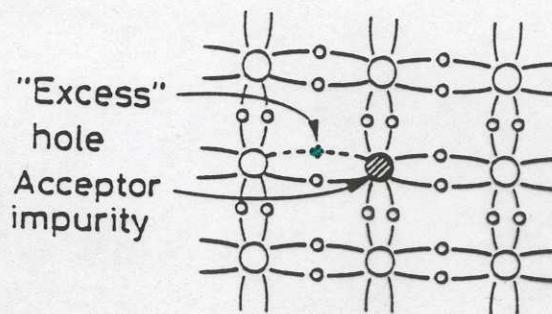
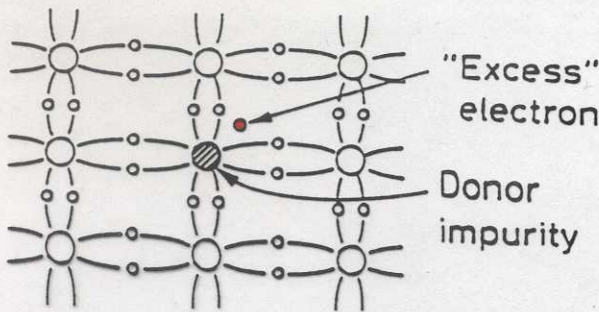


Fig. 10.4. (a) Addition of donor impurities to form n-type semiconductor materials. The impurities add excess electrons to the crystal and create donor impurity levels in the energy gap. (b) Addition of acceptor impurities to create p-type material. Acceptor impurities create an excess of holes and impurity levels close to the valence band

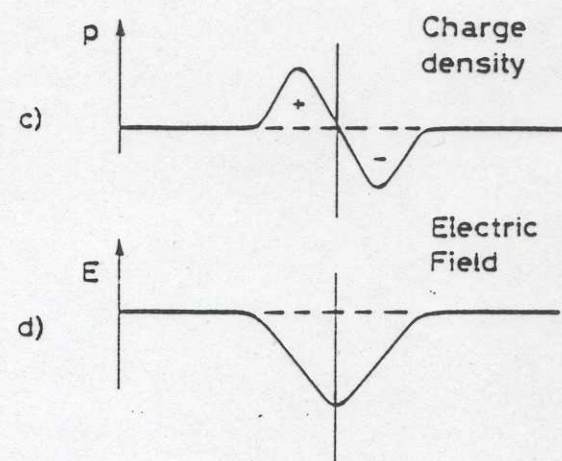
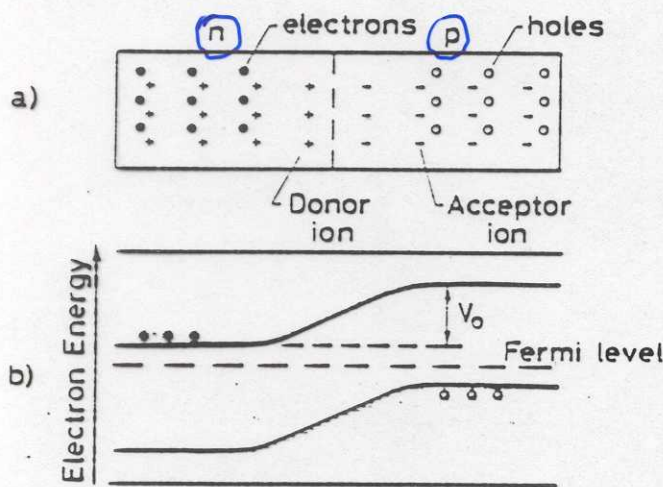


Fig. 10.5. (a) Schematic diagram of an np junction. (b) diagram of electron energy levels showing creation of a contact potential V_0 , (c) charge density, (d) electric field intensity

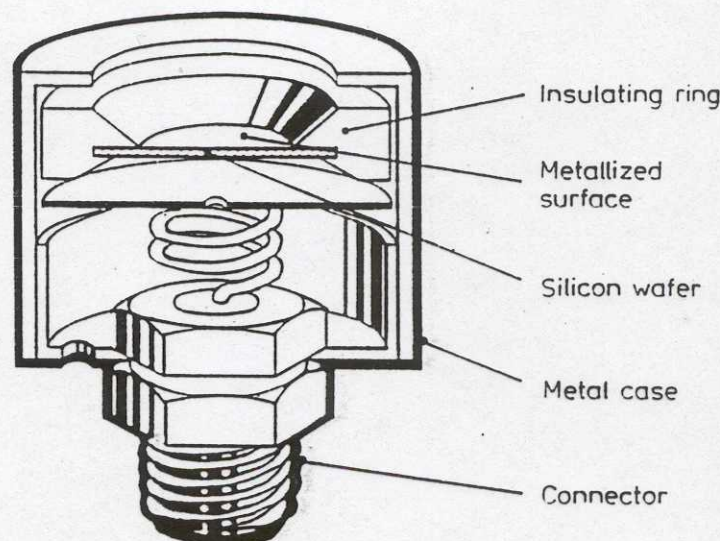
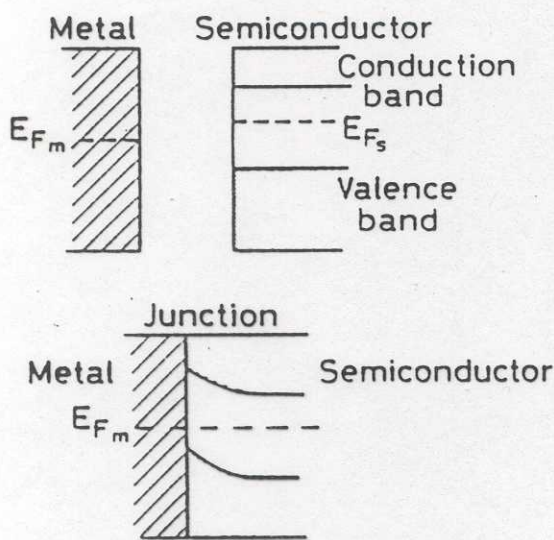


Fig. 10.11

Fig. 10.12

junção:

- A região p, invadida por electrões torna-se negativa.
- A região n, devido aos buracos torna-se positiva.

→ ver fig.

Quer dizer, cria-se um potencial de contacto na junção, que vai impedir a migração de mais portadores de carga: repele os electrões para a zona n e os buracos para a p. Cria-se uma região livre de portadores de carga em movimento: é a zona de depleção ou de ausência de carga espacial. Qualquer electrão ou buraco entrando nesta zona é varrido dela.

→ é uma propriedade interessante para detectores. A radiação, ao entrar na zona de depleção, cria pares e-buraco (3.6 eV/pár) que são varridos para os lados, onde contactos eléctricos em cada extremo da junção recolhem um sinal de corrente proporcional à energia da radiação incidente.

► Os detectores de barreira de superfície são detectores de junção formada entre semicondutor e metal. Geralmente são

de Si - tipo n e ouro ou de Si - tipo p e aluminio.

Devido aos diferentes níveis de Fermi entre estes materiais, quando em contacto as bandas do semicondutor baixam, formando-se também uma zona de deplecção com as mesmas propriedades da junção p n. → ver fig.